# فلوتاسیون نرمههای کالکوپیریت در حضور نانوحبابهای تولید شده با روش کاویتاسیون هیدرودینامیکی

ر حمان احماری، احمار خدادادی در بان \* <sup>+</sup> ، محمو د عبداللهی تهران، دانشگاه تربیت مدرس، دانشکده فنی و مهندسی، گروه فراوری مواد معدنی، صندوق بستی ۱۴۱۱۵ ـ ۱۱۱۱

چکیده: در این مقاله، اثر حضور نانو \_میکروحبابها بر بازیابی فلوتاسیون کالکوپیریت با دانه بندی سه ۲۸+۳مورد مطالعه قرار گرفته است. آزمایشهای فلوتاسیون در حضور و بدون حضور نانو \_میکروحبابها برای بررسی
تغییر بازیابی فلوتاسیون در غلظتهای گوناگون کفساز و کلکتور و نرخهای هوادهی انجام شدند. از روش نوین،
دقیق و سریع تفرق اشعه لیزری برای تعیین اندازهها و توزیع ابعادی نانو \_میکروحبابها استفاده شد.
از متیل ایزوبوتیل کریینول (MIBC) به عنوان کف ساز و از پتاسیم آمیل گزنتات به عنوان کلکتور در ۱۰ = pplستفاده شد.
نانو \_میکروحبابها توسط یک دستگاه نانوحباب ساز که بر مبنای پدیده کاویتاسیون هیدرودینامیکی در لولههای
ونتوری طراحی و ساخته شد، تولید شدند. بررسی پایداری نانو \_میکروحبابها به عنوان تابعی از زمان (لحظه تولید
تا ۱۰ دقیقه پس از آن)، نشاندهنده افزایش بازیابی فلوتاسیون نرمههای کالکوپیریت بین ۲۱–۱۶٪ و کاهش مصرف
نانو \_میکروحبابها موجب افزایش بازیابی فلوتاسیون نرمههای کالکوپیریت بین ۲۱–۱۶٪ و کاهش مصرف
مواد شیمیایی (کلکتور تا ۷۵٪ و کف ساز تا ۵۰٪) شد. افزون بر این، نتیجهها نشان داد که اثر نانو \_میکروحبابها

واژههای کلیدی: نانو ـ میکروحباب، فلوتاسیون کالکوپیریت، نرمه ها.

KEY WORDS: Nano-microbubble, Chalcopyrite flotation, Fine particles.

#### مقدمه

افزایش کارایی برخورد این ذرهها با حباب از طریق افزایش ابعاد ظاهری ذرهها یا کاهش ابعاد حباب مورد بررسی قرار گرفتهاند. شاهدهای آزمایشگاهی بسیار زیادی اثر کاهش ابعاد حباب را بر افزایش کارایی برخورد ذره حباب [۳، ۲] و افزایش نرخ فلوتاسیون مورد تأیید قرار داده اند [۵،۴۴]. برخی از این روشها شامل تولید حبابهای ریز در فلوتاسیون فشاری [۶] و تولید پیکوحبابها [۷] میباشند. متأسفانه استفاده از میکروحبابها برای فلوتاسیون نرمهها مشکلهایی را به همراه دارد. سرعت بالا رفتن کم حبابهای کوچک دارای ذرهها، موجب افزایش زمان ماند

فرایند فلوتاسیون، یکی از روش های بسیار کاربردی در صنعت فرآوری مواد معدنی (پرعیار سازی کانیها) میباشد. با وجود نقش حیاتی فلوتاسیون، کارایی این روش، تنها در یک بازه اندازههای مشخص (۱۰۰-۱۰+میکرون) قابل قبول میباشد. خارج از این بازه ی ابعادی، کارایی فرایند فلوتاسیون بهشدت کاهش میبابد یکی از مباحث بسیار مهم فرآوری، فلوتاسیون ذرههای ریز میباشد که به عنوان نرمهها شناخته میشوند. مشکل اساسی فلوتاسیون نرمهها، کارایی پایین برخورد این ذرهها با حبابهای به نسبت درشت در فلوتاسیون معمولی می باشد [۱]. روشهای گوناگونی برای

\*عهده دار مکاتبات

<sup>+</sup>E-mail: akdarban@modares.ac.ir

در مدارهای فلوتاسیون می شود. افزون بر این، حبابهای ریز منجر به افزایش بازیابی آب [۸] میشوند، که این پدیده، بازیابی گانگ را از طریق فلوتاسیون دنباله روی ذرههای نرمه به علت جرم و مومنتم کم آنها افزایش می دهد. فلوتاسیون در عمل (واقعی)، مجموع دو مکانیسم دنبالـهروی و فلوتاسـیون حقیقـی در اندازههای گوناگون میباشد. سهم مکانیسم دنبالهروی در فلوتاسیون با کاهش ابعاد حبابها و ذرهها، قابل توجه است. روش های انتقال گانگ به کنسانتره در منطقه کف، شامل به تله افتادن<sup>(۱)</sup> و دنباله روی هیدرولیکی<sup>(۲)</sup> ذرههای گانگ می باشند. ذرههای گانگ در بین حبابهای در حال انتقال به کنسانتره به تله افتاده و به کاهش عیار کنسانتره منجر میشوند. افزون براین، آب بین حبابها نیز محل مناسبی برای انتقال گانگ به کنسانتره است که حجم این آب با کاهش ابعاد حبابها افزایش می یابد [۱۰، ۹]. در این پژوهش، نقش غیر مستقیم نانو \_ میکروحبابها بر فلوتاسیون نرمه های کالکوییریت مورد بررسی قرار گرفته است. در این روش، فلوتاسیون در دو مرحله انجام می گیرد: مرحله اول، شامل آماده سازی سطح نرمهها با نانو \_ میکروحبابها است که طی آن نانو \_ میکروحباب ها روی سطح ذرههای نرمه هیدروفوب (آبران) می چسبند. در این مرحله، تلاشی برای فلوته شدن ذرهها صورت نمی گیرد. مرحله دوم، شامل فلوتاسیون معمولی ذرههای نرمه آمادهسازی شده با نانو میکروحبابها دریک سلول مکانیکی و در حضور حبابهای بزرگتر (۱/۶ تا ۲ mm) میباشد. حبابهای بزرگ تولید شده در سلول فلوتاسیون مکانیکی بهجای چسبیدن به سطح ذرههای نرمه، به نانو \_ میکروحباب می چسبند. چسبیدن حبابهای بزرگ به سطح ذرههای دارای حبابهای ریـز از نظر ترمودینامیکی دلخواهتر از چسبیدن حباب به طور مستقیم به سطح ذرهها می باشد [۱۱]. مطالعه ها و پژوهش های انجام شده در زمینه استفاده از نانوحبابها در فلوتاسیون، بسیار اندک و محدود است. پژوهشگران بر این باورند که در صورت

ساخت دستگاه فلوتاسیون با قابلیت تولید حباب در هـر دو بـازهی

ابعادی نانومتر و میلی متر، کلیه مشکلهای موجود در زمینه

فلوتاسیون نرمه ها حل خواهد شد. درنتیجه در دهـه اخیـر، انجـام

پژوهشها در این ارتباط در کشورهای پیشرفته مانند استرالیا،

کانادا، اَمریکا و برزیل در دستور کار پژوهشگران قرار گرفته است.

در سال ۲۰۱۰ میلادی، شرکت کانادایی کوندرا با همکاری دانشگاه آلبرتا در زمینه پتانسیل به کارگیری نوکلی گازها (هستههای گاز) و کاویتاسیون هیدرودینامیکی برای فرآوری بیتومن از ماسههای روغنی آتاباسکا<sup>(۳)</sup> پژوهشهای جامع و گستردهای را انجام داده است [۱۲].

نانوحباب ها با افزایش آبرانی سطح ذرهها (افزایش زاویه تماس)، منجر به بهبود کارایی فلوتاسیون ذرهها میشوند. بر اساس مطالعههای انجام شده، نانوحبابها افزون بر نرمهها، باعث افزایش کارایی فلوتاسیون ذرههای درشت راز ۱۵۰ میکرون نیز میشوند. درنتیجه بهنظر میرسد که با حضور نانوحباب ها، بازه ی ابعادی مورد استفاده برای فلوتاسیون افزایش خواهد یافت [۲۳ و ۱۲].

در این مقاله، نانو \_ میکروحبابها با حجم و غلظت مناسب (حدود ۲۰٪ حجمی)، با استفاده از یک دستگاه نانو \_ میکروحبابساز با طراحی ویژه تولید شدند. برای تعیین ابعاد، توزیع ابعادی و همچنین بررسی پایداری نانو \_ میکروحبابها از فناوری بسیار دقیق و قابل اطمینان تفرق اشعه لیزری ابعاد ذرههای جامد خشک، ذرههای به طور عموم برای اندازهگیری ابعاد ذرههای جامد خشک، ذرههای کلوئیدی و تعلیقی مورد استفاده قرار گرفته است [۱۳]. روش تفرق اشعه لیزری، افزون بر سرعت و دقت بالا از بازه ی اندازهگیری گسترده در مقیاس نانومتر تا میلی متر برخوردار است [۱۳].

در ادامه از نانو \_ میکروحبابهای تولید شده برای بررسی اثر آنها بر بازیابی فلوتاسیون نرمه های کالکوپیریت در سلول مکانیکی دنور استفاده شد. در این راستا، آزمایشهای فلوتاسیون در دو حالت حضور و بدون حضور نانو \_ میکروحبابها (فلوتاسیون معمولی) انجام شدند و نتیجهها مورد مقایسه قرار گرفتند.

# بخش تجربي

#### مواد مورد استفاده

از نمونه کالکوپیریت خالص با خلوص ۹۳٪ و دانه بندی ۳۸–۵+ میکرون برای انجام آزمایش های فلوتاسیون استفاده شد. از آمیل گزنتات پتاسیم (KAX) ساخت شرکت چمینوا<sup>(۲)</sup> (کشور دانمارک) به عنوان کلکتور، از متیل ایزوبوتیل کربینول (MIBC) ساخت سیگما للریچ به عنوان کف ساز استفاده شد. pH در موارد مورد نیاز با استفاده از سدیم هیدروکسید و هیدروکلریک اسید تهیه شده از شرکت مرک، تنظیم شد. در تمامی آزمایش ها از آب دو بار تقطیر شده استفاده شد.

<sup>(\*)</sup> Laser Diffraction Technique

<sup>(</sup>۵) Cheminova

<sup>(1)</sup> Entrapment

<sup>(</sup>Y) Hydraulic entrainment

<sup>(</sup>٣) Athabasca

# بخش تجربي

## اندازه گیری pH و پتانسیل زتای سطحی نانوحباب ها

مقدار PH در تمامی آزمایش های فلوتاسیون که در یک سلول مکانیکی دنور با حجم ۱/۵ لیتر انجام شدند، با استفاده از یک PH متر مدل NP230 Mettler Toledo (ساخت کشور سوئیس) اندازه گیری یا تنظیم شد. پتانسیل زتای سطحی در بازههای زمانی گوناگون، با استفاده از زتا پتانسیل متر مدل HSC1330 ساخت شرکت مالورن انگلیس (Zeta Sizer Malvern Co., HSC1330-3000) ساخت شعیین شد. برای طبقه بندی ذرههای زیر ۳۸ میکرون از دستگاه سیکلوسایزر (Weir Warman Ltd., Model M12) ساخت کشور انگلستان استفاده شد.

#### تولید، اندازه گیری ابعاد و توزیع ابعادی نانو ـ میکروحباب ها

تولید نانو \_ میکروحبابها با استفاده از آب خالص دو بار تقطیر شده در دستگاه دو بار تقطیر SDL12L، ساخت شرکت OES آمریکا با حضور کف ساز MIBC، در یک دستگاه نانو حبابساز که بر اساس پدیده کاویتاسیون هیدرودینامیکی در لولههای ونتوری طراحی و ساخته شد، انجام گرفت (شکل۱). محلول آماده سازی شده در PH=۱۰ و غلظت معین کف ساز (مخزن ۲، شكل ١)، توسط يك يمب سانتريفوژ (PM80, Pentax) ساخت کشور ایتالیا، به درون لوله ونتوری با ابعاد هندسی مشخص، پمپ شد. این pH بر مبنای آزمایشهای اولیه انجام شده و پایداری بیشتر نانوحبابها در این مقدار از pH انتخاب شد. هـوا (پـس از عبور از صافی هوا) با شدت جریان معین در بالا دست یمپ بـه درون محلول تزریق شد. برای افزایش انحلال هوا، دو عدد مخلوط کن ثابت در دو طرف پمپ نصب شد. انحلال هوا در محلول در ورودی لوله ونتوری به علت فشار ایستایی بالا (۰/۳-۰/۳۵ کیلویاسکال) افزایش می یابد. به محض رسیدن محلول اشباع شده از هوا به گلوگاه لوله ونتوری، به علت کاهش فشار استاتیکی (مطابق رابطه برنولی در سیالها) هوای حل شده در محلول بهصورت هسته ها یا حباب های بسیار ریز ظاهر می شود. محلول دارای این حبابهای ریز برای تعیین توزیع ابعادی به طور پیوسته با شدت جریان ۱/۸۶ لیتر بر دقیقه به سـل دسـتگاه Laser Particle Size Analyzer (LPSA) 2000MS. ساخت شرکت مالورن انگلیس \_ منتقل شد. اندازهگیریها بر اساس نظریه مای<sup>(۱)</sup> و اندیس تفرق<sup>(۲)</sup> معادل ۱/۰ برای نانو حباب های هوا و ۱/۳۳ برای آب [۱۵] انجام شدند. از شاخص

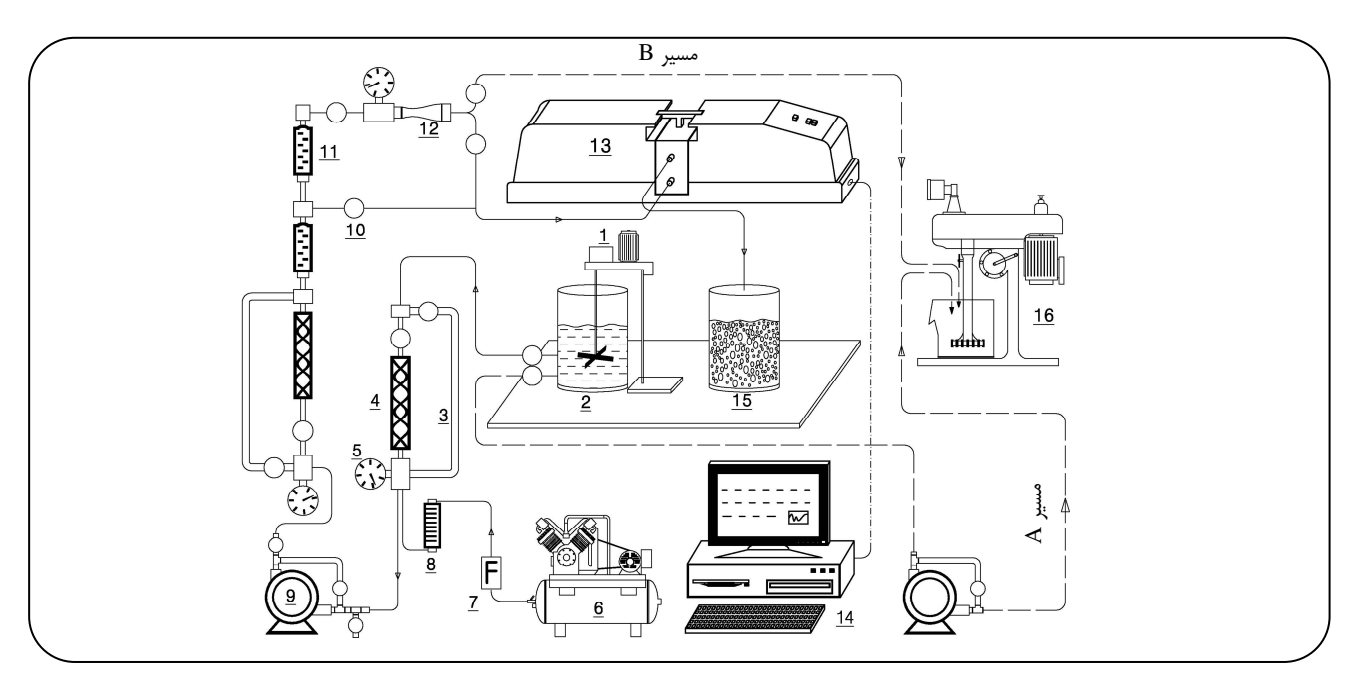
 $D_b(0.5)$  (0.5) مرصد حجمی حبابها اندازهای کوچکتر از این اندازه دارند) برای نشان دادن متوسط ابعاد نانو \_ میکروحبابها استفاده شد. پس از اندازه گیری توزیع ابعادی، محلول دارای نانوحباب وارد یک مخزن نگهداری (مخزن ۱۵ در شکل ۱) شد.

# روش انجام آزمایش های فلوتاسیون

برای انجام آزمایش های فلوتاسیون، ابتدا مقدار ۵۰ گرم از نمونه کالکوپیریت به همراه ۵۰۰ میلی لیتر آب (درصـد جامـد  $\approx$  ۹٪) در یک سلول فلوتاسیون دنور به حجم ۱/۵ لیتر به مدت ۲ دقیقه و در pH پالـپ معـادل ۱۰، اَمـاده سـازی شـد. سـرعت روتــور معادل ۱۲۰۰ دور بر دقیقه و دما در طول آزمایش ها بـین ۲۲– ۲۴ درجـه سلسـيوس بـود. پـس از آمـاده سـازی پالـپ، کلکتـور أميل گزنتات يتاسيم (KAX) به مقدار معين افزوده و أمادهسازي در حضور کلکتور به مدت ۳ دقیقه دیگر ادامه یافت. برای افزودن کفساز به سلول فلوتاسیون در دو حالت حضور و بدون حضور نانوحبابها از مسیرهای A و B مطابق شکل ۱، استفاده شد. به هنگام بدون حضور نانو \_ میکروحباب ها (فلوتاسیون معمولی)، حجم مورد نیاز کف ساز (آماده سازی شده در مخزن ۲ با غلظت معین و در pH=10)، با استفاده از یک پمپ سانتریفیوژ و از مسیر A (شکل ۱) به سلول فلوتاسیون افزوده شد. به هنگام حضور نانو \_ میکروحباب ها، بخشی از حجم کف ساز مورد نیاز از طریق مسیر A و بخشی از آن از طریق مسیر B که شامل دستگاه نانو \_ میکروحبابساز است، بهطور همزمان به سلول فلوتاسیون تزریق شد. حضور نانو \_ میکروحبابها، با استفاده از پارامتر نسبت محلول نانو \_ میکروحباب که بیانگر نسبت حجم محلول کف ساز افزوده شده از طریق مسیر B به حجم کل کف ساز افزوده شده به سلول فلوتاسيون (حجم مسير A + حجم مسير B) مي باشد، تعريف شد. پس از گذشت ۳۰ ثانیه از زمان افزودن کفساز، فلوتاسیون همزمان با تزریق هوا به سلول آغاز و کف گیری در مدت ۴ دقیقه انجام شد. ارتفاع کف از لبه سلول در تمامی آزمایشها، ۱۰ میلی متر و فاصله زمانی بین هر کفگیری در یک دقیقه اول، ۵ ثانیه و دقیقههای بعدی، ۱۰ ثانیه بوده است. نرخ هوادهی به سلول دنـور در تمامی آزمایشها ۲ لیتر بر دقیقه بوده است. فراوردهی کف و باقیمانده در سلول، صافی، خشک و سپس توزین شد. بازیابی جرمی هر آزمایش با استفاده از معادله (۱) محاسبه شد، که در این معادله،  $W_c$  و  $W_t$  به ترتیب جرم شناور شده

(Y) Refractive index

(1) Mie's theory



شکل ۱ ـ شمای دستگاه نانو – میکروحباب ساز، اندازه گیری توزیع ابعادی و سلول فلوتاسیون.

و جرم باقیمانده در سلول فلوتاسیون و R بازیابی کالکوپیریت می باشند.

$$R = \frac{W_c}{W_{c+W_c}} \times 100 \tag{1}$$

# نتيجهها وبحث

# **پایداری نانو-میکروحبابها**

شکل ۲، توزیع ابعادی نانو \_ میکروحبابها و تغییر متوسط ابعاد این حبابها را در فاصلههای زمانی پس از تولید نشان میدهد. مطابق شکل ۲، منحنی توزیع ابعادی نانو ـ میکروحبابها در زمانهای ۰/۵، ۱ و ۵ دقیقه پس از لحظه تولید، از دو پیک، یکی در بازهی ابعادی نانو و پیک دیگر در بازهی ابعادی میکرونی تشکیل شده است. بر اساس منحنیهای درصد تجمعی، متوسط ابعاد نانو \_ میکروحبابها- (Db(0.5) در زمان ۰/۵، ۱ و ۵ دقیقه بعد از تولید، به ترتیب معادل ۵۸۰ nm و ۵۸۰ و γ/۸۷ μm و ۷/۸۷ مى باشند. پس از ۱۰ دقیقه از لحظه تولید، منحنى توزیع ابعادی نانو \_ میکروحبابها مطابق شکل، دارای سه پیک می باشد. همچنین این منحنی از بازهی ابعادی گسترده تری در بخش میکرونی برخوردار است. متوسط ابعاد نانو \_ میکروحباب ها در این لحظه مطابق منحنی درصد تجمعی، برابر با ۱۳/۲۴ بس اندازه گیری شد. افزون بر این، ارتفاع منحنی توزیع ابعادی نانوحبابها با گذشت زمان از لحظه ۰/۵ تا ۱۰ دقیقه، در بخش ابعادی نانو (۰/۰۱ تا ۱ میکرون) کاهش یافته است.

افزایش متوسط ابعاد نانو \_ میکروحبابها با گذشت زمان را می توان به تلفیق و به هم پیوستگی این حبابها ارتباط داد. شکل ۳، تغییر پتانسیل زتای سطحی نانو \_ میکروحبابها را از لحظه تولید تا ۱۰ دقیقه پس از آن، نشان می دهد. مطابق این شکل، مقدار مطلق پتانسیل زتا در این بازه زمانی از حدود ۲۲ mV مقدار مطلق بتانسیل زتا در این بازه زمانی از حدود ۲۲ mV کاهش یافته ار تولید کاهش یافته است.

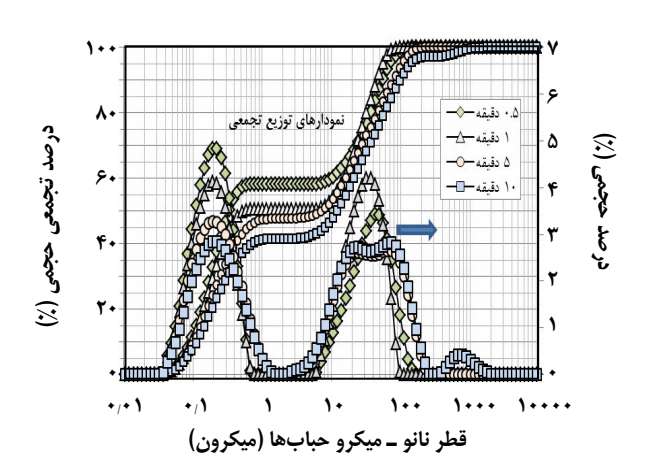
ذرههای باردار در سامانههای کلوئیدی در مقدارهای بالای پتانسیل زتا، تمایل به دفع یکدیگر دارند. در سامانههای حبابی نیز مقدارهای بالای پتانسیل زتای سطحی منجر به ایجاد نیروهای دافعه سطحی شده و از نزدیک شدن آنها و در نتیجه تلفیق و افزایش ابعاد، جلوگیری نماید. در لحظه تولید، به علت مقدار پتانسیل زتای مطلق بالا که نشان دهنده از بار سطحی بزرگتر نانوحبابها می باشد، نیروی دافعه سطحی بین نانوحبابها نیز بیشتر است. در مقابل، پس از گذشت زمان ۱۰ دقیقه، مقدار مطلق پتانسیل زتا کاهش می بابد. با کاهش مقدار مطلق پتانسیل زتای سطحی و متعاقب آن کاهش بار سطحی، نیروی دافعه بین نانو/ میکروحبابها کاهش یافته و به یکدیگر نزدیکتر می شوند. این نزدیکی، منجر به تلفیق، بههم پیوستگی و درشتتر شدن ابعاد نانو میکروحبابها می شود. در نتیجه کاهش مقدار مطلق پتانسیل زتای میکروحبابها می شود. در نتیجه کاهش مقدار مطلق پتانسیل زتای سطحی با زمان را می توان عاملی برای افزایش ابعاد نانوحبابها دانست.

-18/0

-14/+

-19/0

<u>. ۲۲</u>/۵



شکل ۲\_ابعاد و توزیع ابعادی نانو \_میکروحباب ها به عنوان تابعی از زمان در حضور کف ساز MIBC.

زمان (دقیقه)

0

عامل دیگر افزایش ابعاد نانوحبابها با کاهش مقدار غلظت اکسیژن حل شده در محلول دارای نانوحبابها در بازه زمانی /۵ تا ۱۰ دقیقه پس از تولید در ارتباط دانست.

مقدار اکسیژن حل شده در محلول در لحظه تولید نانو میکروجبابها (۵/۰ دقیقه) برابر با ۱۰/۸۵ میلی گرم بر لیتر میباشد. این مقدار در زمان ۱۰ دقیقه پس از تولید به ۴/۵ میلی گرم بر لیتر کاهش یافت. کاهش غلظت اکسیژن حل شده در محلول، باعث افزایش گرادیان غلظت گاز بین سطح مشترک حباب و آب میشود. درنتیجه با گذشت زمان، گاز اکسیژن موجود در درون نانوحبابها وارد آب شده و از آنجا وارد اتمسفر میشود. این عمل، موجب کاهش فشار درونی و سرانجام از بین رفتن نانوحبابها میشود. با کاهش غلظت این حبابها، توانایی دستگاه برای ثبت اندازه این بازه ابعادی کاهش می یابد. بنابراین دستگاه تنها حباب های بزرگتر را اندازه گیری می نماید.

کاهش پتانسیل زتای سطحی نانو \_ میکروحبابها و مقدار اکسیژن حل شده در محلول دارای نانوحبابها با گذشت زمان، توسط یوشیکوبو<sup>(۱)</sup> و همکاران نیز گزارش شده است[۱۶].

فلوتاسیون نرمههای کالکوپیریت در حضور و عدم حضور نانوحبابها اثر حضور نانو ـ میکروحبابها بر بازیابی کالکوپیریت در نرخهای کوناکون هوادهی به دستگاه نانوحباب ساز

شکل ۴، اثر حضور نانو \_ میکروحبابها بر بازیابی کالکوپیریت را در نرخ های گوناگون هوادهی نشان می دهـد. مطابق شـکل،

بیشترین مقدار بازیابی کالکوپیریت در نسبت محلول نانو میکروحباب ۱/۸ و نرخ هوادهی ۰/۳ لیتر بر دقیقه معادل ۹۷/۴٪ و کمترین مقدار بازیابی کالکوپیریت در نسبت محلول نانو میکروحباب ۰/۲ و نرخ هوادهی ۰/۱ لیتر بر دقیقه معادل ۸۸/۹۷٪ قابل دستیابی می باشد.

درنتیجـه دیـده مـیشـود کـه افـزون بـر نسـبت محلـول نانو\_ میکروحباب، نـرخ هـوادهی بـه دسـتگاه نانوحبـابسـاز نیـز بر افزایش بازیابی کالکوییریت مؤثر می باشد. مطابق شکل ۵، با افزایش نرخ هوادهی از ۰/۱ به ۰/۳ لیتـر بـر دقیقـه، هـمزمـان با افزایش ارتفاع منحنی توزیع ابعادی نانو میکروحبابها در بازهی ابعادی نانومتر و کاهش ارتفاع آن در بازهی ابعادی میکرومتر، متوسط ابعاد نانو \_ میکروحباب ها \_ (0.5) Db از P۴۷ nm به ۲۲۰ nm متوسط ابعاد نانو كاهش يافته است. كاهش ابعاد، باعث افزايش سطح مؤثر، افزايش غلظت حجمی و همچنین پایداری بیشتر نانوحباب ها می شود، که این امر دلیل افزایش بازیابی در نرخ های بالاتر هوادهی می باشد. در یک دمای مشخص، افزایش نرخ هوادهی تا مقدار معین، باعث افزایش میزان هوای حل شده در آب یا محلول می شود. انحلال بیشتر هوا در آب، باعث کاهش گرادیان غلظت هوای حل شده در سطح مشترک نانوحباب و محیط (آب) می شود. درنتیجه هوای موجود در درون نانوحباب ها و به دنبال آن فشار درونی نانوحبابها ثابت می ماند. این امر باعث کوچک ماندن و پایداری نانوحبابها مىشود.

(1) Ushikubo

نتیجههای مشابهی در سال ۱۹۹۶ میلادی توسط ۱۷] [۱۷] به دست اَمده است.

#### اثر نانو حباب ها بر بازیابی کالکوپیریت در غلظت های گوناگون کف ساز

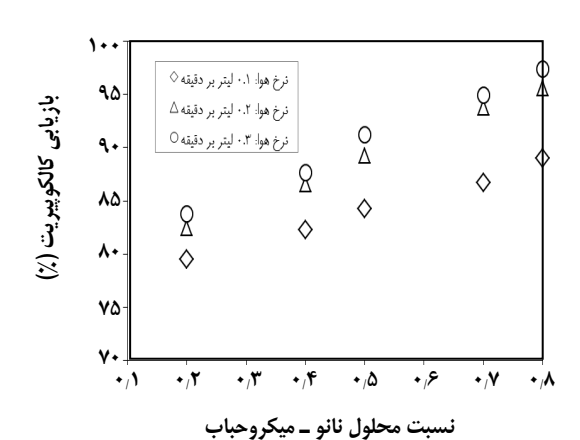
شکل ۶، اثر حضور نانو \_ میکروحبابها بر بازیابی کالکوییریت در غلظت های گوناگون کف ساز MIBC را نشان می دهد. بازیابی کالکوییریت در غلظت کف ساز ۱/۶ kg/t، در حضور (با نسبت محلول نانو \_میکروحباب: ٠/٨) و نبودن حضور نانو \_حبابها (نسبت محلول نانو \_ میکروحباب معادل صفر، فلوتاسیون معمولی)، به ترتیب معادل ۹۶/۵۷٪ و ۸۰٪ (۷۹/۹۵٪) به دست آمد. درنتیجه دیده می شود که بازیابی نرمه های کالکوییریت در حضور نانو \_ میکروحبابها تا حدود ۱۶/۶٪ نسبت به نبودن حضور نانو \_ میکروحبابها در غلظت همانند کفساز افزایش یافته است. افزون براین، حضور نانوحبابها مطابق شکل ۶، منجر به کاهش قابل توجه مصرف كفساز نيز شده است. بهعنوان مثال، بازيابي ۸۰ درصدی کالکوییریت در نبود نانوحبابها (فلوتاسیون معمولی) با غلظت كفساز ۱/۶ kg/tبه دست أمده است. درحالي كه این مقدار بازیابی در حضور نانوحبابها با نسبت تقریبی محلول نانو \_میکروحباب ۰/۲ (۰/۲۴) تنها با غلظت کف ساز معادل هابل دستیابی می باشد. بنابراین دیده می شود که  $\cdot/\Lambda$  kg/t مصرف کف ساز در حضور نانوحبابها تا ۵۰٪ کاهش یافته است.

غلظت های بالاتر کف ساز، باعث کاهش ابعاد نانو میکروحبابها و افزایش غلظت حجمی آنها در مایع می شود. کاهش ابعاد حبابها مطابق معادله ارایه شده توسط Yoon و کاهش ابعاد حبابها مطابق افزایش احتمال برخورد ( $P_c$ ) به ذرههای نرمه می شود.

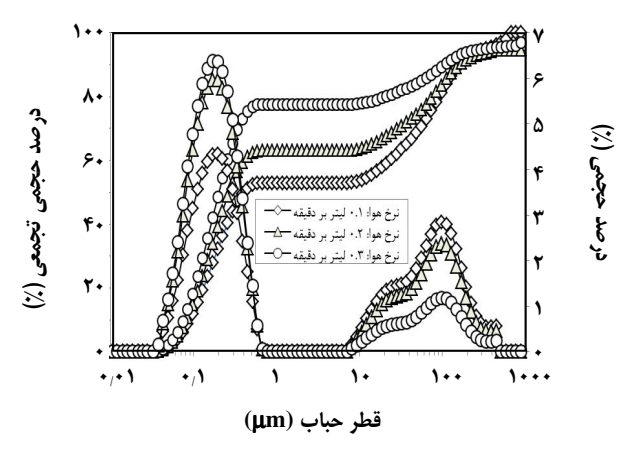
در این معادله،  $D_p$  ،  $D_b$  و Re به ترتیب قطر حباب، قطر ذره و عدد رینولدز می باشند.

$$P_{c} = \left[\frac{3}{2} + \frac{4Re^{0.72}}{15}\right] \left[\frac{D_{p}}{D_{b}}\right]^{2} \tag{Y}$$

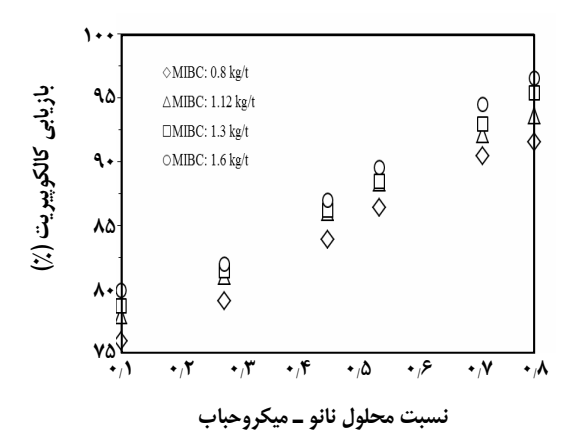
بر مبنای مطالعههای انجام شده توسط هامپتون (۱) و نین (۲) [۱۹]، نانو میکروحبابها با ایجاد یک پل ارتباطی بین سطوح ذرمهای جامد هیدروفوب (آب دوست)، باعث بههم چسبیدگی این ذرمها میشوند. تجمع ذرمها با این روش، به عنوان پدیده انبوهش حبابی نامیده می شود. تجمع ذرمها با این روش به عنوان پدیده انبوهش حبابی،



شکل ۴\_ اثر نسبت محلول نانو \_ میکروحباب بـر بازیـابی فلوتاسـیون نرمــههـای کالکوپیریــت در نــرخهـای هــوادهی مختلــف. MIBC: ۱/۱۲ kg/t ،KAX:+,۶ kg/t ، pH: ۱۰



شكل ۵ ـ ابعاد و توزيع ابعادى نانو ـ ميكروحباب ها بهعنوان تـابعى از نرخ هوادهى. ۱۰۰ kg/t ،KAX:۰/۶ kg/t ، pH نرخ هوادهى.



شکل  $\beta$  \_ اثـر نسبت محلول نانـو \_ میکروحباب بر بازیابی فلوتاسیون کالکوپیریت در غلظت های مختلف کف ساز. نرخ هوادهی:  $\gamma$  لیتر بر دقیقه،  $\gamma$  .  $\gamma$  لیتر بر KAX:  $\gamma$  لیز بر بر نسبت دقیقه،  $\gamma$  .

(Y) Nguyen

(1) Hampton

باعث افزایش احتمال برخورد آنها با حبابها می شود. پدیده انبوهش حبابی در یافتههای این پژوهشگران با روش تجزیه تصویری<sup>(۱)</sup> به اثبات رسیده است. بنابراین افزایش غلظت کف ساز با کاهش ابعاد نانو میکروحبابها

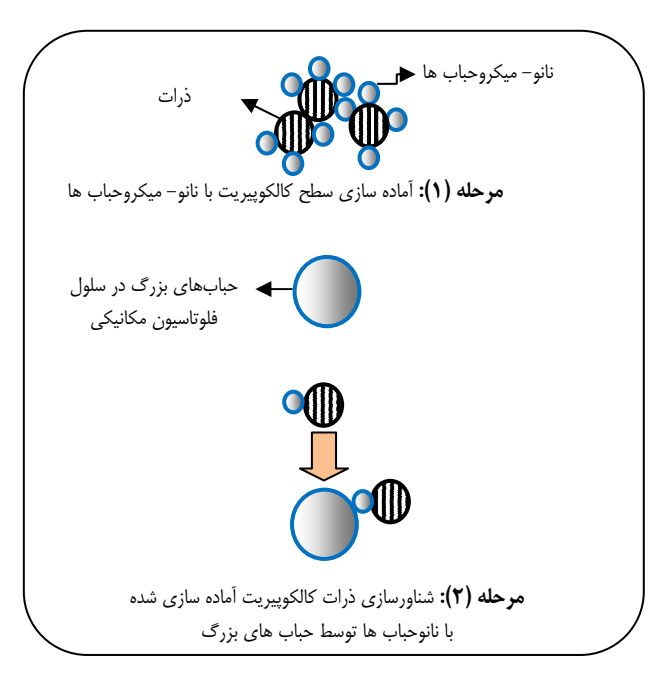
بببراین افرایس عطت نف سار با داهس ابعاد نانو \_ میخروجبابها و تجمع ذرههای نرمه، موجب افزایش احتمال برخورد ذره به حباب و در نتیجه افزایش بازیابی و نرخ فلوتاسیون شده است. شکل ۷، شماتیکی از نحوه عملکرد نانوجباب ها در حضور حباب های اندازه معمولی بر فلوتاسیون نرمههای کالکوپیریت را بهصورت مکانیسم چسبیدن دو مرحله ای نشان می دهد.

#### اثر نانو حباب ها بر بازیابی کالکوپیریت در غلظت های گوناگون کلکتور

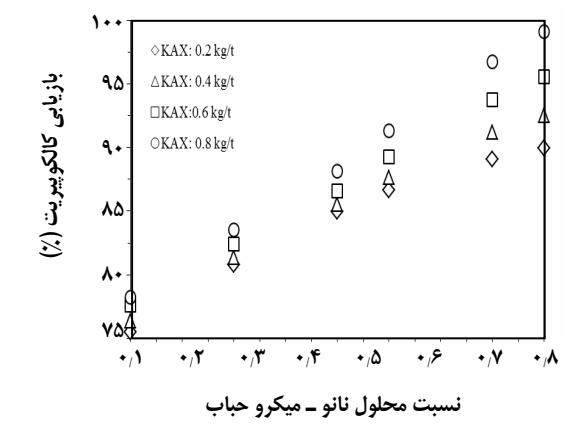
اثر نسبت محلول نانو \_ میکروحباب بـر بازیـابی فلوتاسـیون کالکوپیریت در غلظتهای گوناگون کلکتور در شکل ۸ نشان داده شده اسـت. در غلظـت کلکتـور ۲/۸ kg/t، در حضـور (بـا نسـبت محلول نانو \_ میکروحباب ۱۰/۸) و نبـود نانو \_ میکروحبابها، بازیابی کالکوپیریت به ترتیب مقدار ۹۹/۰۹٪ و ۲۷۸/۲۳ به دست آمـد. درنتیجه دیده می شود که حضـور نانو — میکروحباب هـا باعـث افزایش بازیابی نرمـه هـای کالکوپیریـت بـه میـزان حـدود ۲۱٪ نسبت به حالت عدم حضور این حباب ها در غلظت همانند کلکتور شده است.

مطابق شکل ۸ بازیابی ۷۵/۵۱٪ کالکوپیریت در حضور نانو میکروحبابها با نسبت محلول نانو ـ میکروحباب کمتر از ۲/۲ در غلظت کلکتور ۴/۲ قابل دستیابی است. با توجه به رسیدن به این مقدار بازیابی به هنگام بدون حضور نانو ـ میکروحبابها در غلظت کلکتور ۴/۸ کیلوگرم بر تن، نانو ـ میکروحباب ها باعث کاهش مصرف کلکتور تا ۷۵٪ شدهاند به نظر می رسد که نانو میکروحبابها در این حالت، نقش کلکتور دوم را بازی کردهاند.

مشاهدههای انجام شده بر اساس تجزیههای تصویری نشان می دهند که نانوحباب ها حضور بر سطح جامد هیدروفوب (اَبران) را بر حضور در اَب و همچنین سطح هیدروفیل (اَبدوست) ترجیح می دهند[۲۰]. مطالعههای AFM، حضور نانوحبابها بر سطح هیدروفوب را حتی تا چندین ساعت بدون هیچگونه تغییری مورد تأیید قرار داده اند. علت این پدیده، مربوط به زاویه تماس بسیار بزرگتر در مقیاس نانو نسبت به زاویه تماس در مقیاس ماکرو میباشد. زاویه تماس نانوحباب ها با سطوح هیدروفوب به طور عموم بین زاویه تماس نانواندازه گیری شده است[۲۱].



شکل ۷ ــ شمای فلوتاسیون ذرات کالکوپیریت در حضور نانو ـ میکروحباب ها (چسبیدن دو مرحله ای).



شکل ۸ \_ اثر نسبت محلول نانو – میکروحباب بر بازیابی فلوتاسیون کالکوپیریت در غلظت های مختلف کلکتور. نرخ هوادهی:  $^{+/1}$  لیتر بر دیقه،  $^{-1}$  PH:10, MIBC:1.12 kgt

همچنین بر اساس مطالعههای Gu و همکاران [۲۲]، زاویه تماس حبابهای بزرگ بر سطح هیدروفوب آمادهسازی شده با نانوحبابها، بزرگتر از زاویه تماس آن در بدون حضور نانوحبابها، آبرانی می باشد. علت افزایش زاویه تماس در حضور نانوحبابها، آبرانی بیشتر سطح نانوحبابها نسبت به سطح جامد می باشد. درنتیجه چسبیدن حباب/جامد برتری دارد.

(1) AFM (Atomic Force Microscopy)

علمي ـ پژوهشي

به نظر میرسد که نانوحبابها با افزایش زاویه تماس، نقش کلکتور دوم را بازی مینمایند.

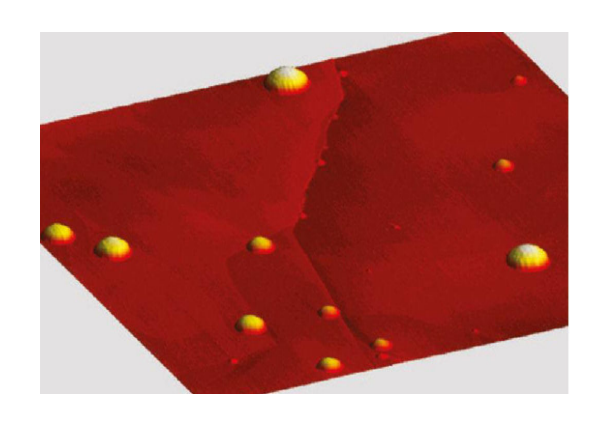
اثر نانوحباب ها بر افـزایش زاویـه تمـاس و آبرانـی ذرههـای درشت فسـفات (۱/۱۸ – ۰/۴۲۵)، توسـط Maoming [۳۳] نیز گزارش شده است.

شکل ۹، حضور نانوحبابها بر سطح یک جامد هیدروفوب در درون آب را که با روش AFM عکسبرداری شده است، نشان میدهد افزایش غلظت کلکتور در حضور نانو میکروحبابها باعث افزایش آبرانی سطح ذرههای نرمه کالکوپیریت و زاویه تماس می شود. به واسطه وجود سطوح آبران بیشتر در غلظتهای بالای کلکتور، نقش نانو میکروحبابها بر افزایش بازیابی فلوتاسیون، مؤثرتر میباشد.

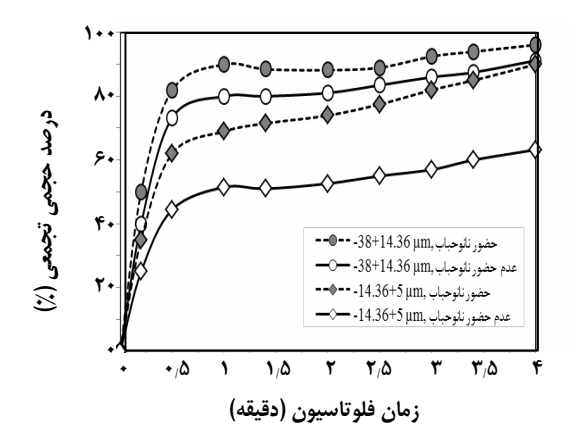
#### اثر نانو حباب ها بر منحنی بازیابی ـ زمان کالکوپیریت در بازههای ابعادی گوناگون

شکل ۱۰، منحنی های بازیابی ـ زمان فراکسیون های ۳۸ ۳۸–۱۴/۳۶ و ۳۸ ۱۴/۳۶ ۵+ را در حضور و بـدون حضـور نانو \_ میکروحبابها برای نمونه کالکوپیریت نشان می دهند. مطابق شکل ۱۰، ذرههای پیش نرمه با بازهی ابعادی ۱۴/۳۶ مطابق شکل ۱۴/۳۶ مطابق به علت مشکل تر بودن فلوتاسیون، از بازیابی و نرخ فلوتاسیون کمتری نسبت به ذرههای نرمه با بازهی ابعادی ۳۸–۱۴/۳۶ بسب بلسبت به برخوردارند. بازیابی کالکوپیریت در هـر دو فراکسـیون یـاد شـده، در حضور نانو \_ میکروحبابها بیشتر از بازیابی آن بـدون حضـور نانو حبابها می باشد. افزون بر این، اختلاف بازیابی در دو حالت برای فراکسیون سه ۱۴/۳۶ سه مقدار چشمگیری از فراکسیون ۳۸ – ۱۴/۳۶ + بیشتر است. بازیابی پس از ۴ دقیقه در حضور و بدون حضور نانو \_ میکروحبابها در فراکسیون ۳۸ ۳۳– ۱۴/۳۶+  $+\Delta-14/79 \mu m$  و در فراکسیون ۹۱/۲۰ $\mu$  و در فراکسیون به ترتیب ۸۹/۹۸ و ۶۳/۲۵٪ به دست آمد. درنتیجه دیده می شود که اثر نانو \_ میکروحبابها در افزایش بازیابی ذرههای فوق نرمه، مؤثرتر از اثر أن بر ذرههای نرمه میباشد.

افزایش ابعاد ظاهری ذرههای کانی در حضور نانو \_میکروجبابها (بهوییژه برای ذرههای کوچکتر از ۱۳ باعث افزایش احتمال برخورد به حباب میشود. به نظر میرسد با توجه به احتمال کمتر شناورسازی ذرههای فوق نرمه، فراوانی این ذرهها در پالپ بیشتر می باشد. درنتیجه حضور نانو میکروجبابها بر افزایش ابعاد ظاهری ذرههای پیش نرمه و همچنین زاویه تماس، بیشتر خواهد بود، که دلیل اختلاف بیشتر بازیابی این ذرهها را نسبت به ذرههای نرمه توجیه می نماید.



شکل ۹ \_ تصویر AFM حضور نانوحبابها بـر سـطح هیـدروفوب در درون آب (اندازه تصویر:  $(r+1)^{(7+4)}$ 



شکل ۱۰ اشر نانو – میکروحباب ها بـر منحنی بازیابی ـ زمان فراکسیونهای ابعادی ۱۴/۳۶ و ۱۴/۳۶ - ۵ میکرون. نـرخ MIBC=1.2 kg/t, KAX=0.4 kg/t.

تأثیر بیشتر حضور نانو \_ میکروحبابها بر افزایش بازیابی ذرههای درشت تر فسفات که فلوتاسیون آنها مشکل تر است توسط Maoming مورد تأیید قرارگرفته است[۲۳].

#### بررسی فلوتاسیون ذرههای کالکوپیریت در غیاب حبابهای بزرگ

افزون بر آزمایشهای بالا، که اثر نانو میکروحبابها در حضور حبابهای بزرگ تولید شده توسط سلول فلوتاسیون مکانیکی بر بازیابی نرمهها مورد بررسی قرار گرفته است، تعدادی از آزمایشهای فلوتاسیون تنها در حضور نانو میکروحبابها (در غیاب حبابهای بزرگ) بر روی نمونه اولیه ۳۸ میکرون و نمونههای طبقهبندی شده سلم ۳۸–۱۴/۳۶ و سلم ۱۴/۳۶ مینا نیز انجام شدند. نتیجهها، نشان دهنده ی شناور نشدن ذرههای

کالکوپیریت در غیاب حبابهای بزرگ میباشند. مطابق شکل ۳، متوسط ابعاد نانو حمیکروحبابها در بازه زمانی فلوتاسیون (صفر تا چهار دقیقه)، کوچکتر از ۳/۵ میکرون میباشد، که به علت بالا نرفتن یا سرعت صعود بسیار پایین، این حبابها قابلیت شناورسازی ذرههای کالکوپیریت را ندارند.

# نتيجهگيري

اثر نانو \_ میکروحباب های تولید شده به وسیله یک دستگاه نانو \_ میکروحباب ساز بر بازیابی فلوتاسیون ذرههای نرمه کالکوپیریت با بازه ی ابعادی ۲۸+۳ – مورد بررسی قرار گرفت. در ابتدا برای شناخت ویژگیهای نانو \_ میکروحبابها، توزیع ابعادی آنها با روش مطمئن و دقیق تفرق اشعه لیزری اندازه گیری شد. نتیجههای اندازه گیری توزیع ابعادی نانو \_ میکروحبابها در فاصلههای زمانی پس از تولید، نشان دهنده افزایش متوسط ابعاد آنها بهواسطه بههم پیوستگی و تلفیق می باشد. اثر نانو \_ میکروحبابها بر بازیابی نرمههای کالکوپیریت در غلظتهای گوناگون کلکتور و بفساز و همچنین نرخهای هوادهی متفاوت، نشان دهنده کفساز و همچنین نرخهای هوادهی متفاوت، نشان دهنده نانو \_ میکروحبابها می باشد. نتیجهها نشان داد که حضور نانو \_ میکروحبابها می باشد. نتیجهها نشان داد که حضور نانو \_ میکروحبابها می باشد. نتیجهها نشان داد که حضور

نانو \_ میکروحبابها که با پارامتر نسبت محلول نانو \_ میکروحباب تعریف شد، موجب افزایش بازیابی نرمههای کالکوپیریت بین ۱۶ ۲۱٪ و کاهش قابل توجه مصرف مواد شیمیایی (کلکتور تا ۷۵٪ و کفساز تا ۵۰٪) شد. افزون بر این، حضور نانو \_ میکروحبابها منجر به افزایش بازیابی ذرهها در هـ ر دو بـازه ی ابعـادی نرمه ( $\mu$  ۱۴/۳۶ – ۱۴/۳۶ و فوق نرمه ( $\mu$  ۱۴ – ۱۴ ) شد. همچنین نتیجـهها نشان می دهد که اثر نـانو \_ میکروحبـابهـا بـر افـزایش بازیـابی ذرههای فوق نرمـه کـه از فلوتاسـیون مشـکل تـری برخوردارنـد، بیشتر از ذرههای نرمه می باشد.

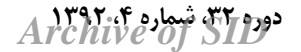
### قدرداني

نویسندگان این مقاله از دانشگاه تربیت مدرس و مرکز تحقیقات فرآوری مواد معدنی ایران به واسطه همکاری در طول انجام پژوهش و تأمین تجهیزات و از سازمان توسعه و نوسازی معادن و صنایع معدنی ایران به واسطه تأمین هزینههای مالی این پژوهش، تشکر و قدردانی مینمایند.

تاریخ دریافت : ۱۳۹۲/۴/۱۶ ؛ تاریخ پذیرش : ۱۳۹۲/۴/۱

#### مراجع

- [1] Trahar W.J., Warren L.J., The Floatability of Very Fine Particles: A Review, *International Journal of Mineral Processing*, **3**, p. 103 (1976).
- [2] Anfruns J.F., Kitchener J.A., Rate of Capture of Small Particles in Flotation, *Transactions of the Institution of Mining and Metallurgy*, *Section C, Mineral Processing and Extractive Metallurgy*, **86**, p. 9 (1977).
- [3] Yoon R.H., Luttrell G.H., The Effect of Bubble Size on Fine Coal Flotation, *Coal Preparation*, **2**, p. 179 (1986).
- [4] Bennett A.J.R., Chapman W.R., Dell C.C., Froth Flotation of Coal, International Coal Preparation Congress, **E2**, 3rd ed. Brussels-Liege, p. 452 (1958).
- [5] Reay D., Ratcliff G.A., Experimental Testing of the Hydrodynamic Collision Model of Fine Particle Flotation, *Canadian Journal of Chemical Engineering*, **53**, p. 481 (1975).
- [6] Yalcin T., Byers A., Dissolved Gas Flotation in Mmineral Processing, *Mineral Processing and Extractive Metallurgy Review*, **27**, p. 87 (2006).
- [7] Tao Y.J., Liu J.T., Yu S., Tao D., Picobubble Enhanced Fine Coal Flotation, *Separation Science* and *Technology*, **41**, p. 3597 (2006).



- [8] Schwarz S., Grano S.R., Effect of Particle Hydrophobicity on Particle and Water Transport Across a Flotation FrothIn: Flotation and Flocculation: From Fundamentals to Applications, University of South Australia, Kailua-Kona, Hawaii. (2002).
- [9] Trahar W.J., Warren L.J., The Floatability of Very Fine Particles: a Review, *International Journal of Mineral Processing*, **3**, p. 131 (1976).
- [10] Liu Q., Wannas D., The Role of Polymeric-Depressant-Induced Flocculation in Fine Particle Flotation, In: "Particle Size Enlargement in Mineral Processing", Proceedings of the UBC-McGill Biennial International Symposium on Fundamentals of Mineral Processing 5th, Hamilton, Canada, 2–25 August, p. 193 (2004).
- [11] Mishchuk N., Ralston J., Fornasiero D., Influence of Very Small Bubbles on Particle/Bubble Heterocoagulation, *Journal of Colloid and Interface Science*, **301**, p. 168 (2006).
- [12] Zhou Z.A., Zhenghe Xu, Finch J.A., Masliyah J.H., Chow R.S., On the Role of Cavitation in Particle Collection in Flotation: A Critical Review, II, *Minerals Engineering*, **22**, p. 419 (2009).
- [13] International Standards Organization, ISO 13320-1, (E), Particle Size Analysis- Laser Diffraction Methods; Part 1, General Principals., nla.gov.au/and.bib-an44675386 (1999).
- [14] Hudson J.B. Couto, Daniel G. Nunes, Reiner Neumann, Silvia C.A. França, Micro-Bubble Size Distribution Measurements by Laser Diffraction Technique, *Minerals Engineering*, 22, p. 330 (2009).
- [15] "Operations Guide", Malvern Instruments Ltd., Appendix A, Page: A.1., United Kingdom. (1998-1999).
- [16] Fernanda Yumi Ushikubo, Takuro Furukawa, Ryou Nakagawa, Masatoshi Enari, Yoshio Makino, Yoshinori Kawagoe, Takeo Shiina, Seiichi Oshita., Evidence of the Existence and the Stability of Nano-Bubbles in Water, *Colloids and Surfaces A: Physicochemical and Engineering Aspects*, **361**, pp. 31 (2010).
- [17] Zhou Z.A., "Gas Nucleation and Cavitation in Flotation", PhD thesis, Mc Gill University, p.66 (1996).
- [18] Yoon R.-H., Luttrell G.H., The Effect of Bubble Size on Fine Particle Flotation; *Mineral Processing and Extractive. Metallurgy*, 5, p. 101 (1989).
- [19] Hampton, M.A., Nguyen, A.V., Nanobubbles and the Nanobubble Bridging Capillary Force; *Advances in Colloid and Interface Science*, **154**, p. 30 (2010).
- [20] Fan M., Tao D., Honaker R., Luo Z., Nanobubble Generation and its Application in Froth Flotation (part I): Nanobubble Generation and Its Effects on Properties of Microbubble and Millimeter Scale Bubble Solutions, *Mining Science and Technology*, **20**, p. 1 (2010).
- [21] Borkent B.M., Beer S.D., Mugele F., Lohse D., On the Shape of Surface Nanobubbles; *Langmuir*, **26**, p. 260 (2010).
- [22] Gu G., Sanders R.S., Nandakumar K., Xu Z., Masliyah J., A Novel Experimental Technique to Study Single Bubble-Bitumen Attachment in Flotation; *International Journal of Mineral Processing*, **74**, p.15 (2004).

[23] Fan M., Tao, D., Honaker R., Luo Z., Nanobubble Generation and its Applications in Froth Flotation (Part II): Fundamental Study and Theoretical Analysis, Mining Science and Technology, 20, pp. 159 (2010).

91